CN37-1475/P Marine Geology Frontiers

李静, 崔传智, 于涌博, 等. 致密油藏含水条件下二氧化碳与短链烷烃竞争吸附特征的分子模拟[J]. 海洋地质前沿, 2025, 41(3): 78-88. LI Jing, CUI Chuanzhi, YU Yongbo, et al. Molecular simulation of competitive adsorption of CO2 and short-chain alkanes under water containing conditions in tight oil reservoirs[J]. Marine Geology Frontiers, 2025, 41(3): 78-88.

# 致密油藏含水条件下二氧化碳与短链烷烃竞争吸附 特征的分子模拟

李静1,2,崔传智1,2,3,4,5\*,于涌博1,2,李宗阳6,张传宝6,张东6

(1中国石油大学(华东)石油工程学院, 青岛 266580; 2 深层油气全国重点实验室, 中国石油大学(华东), 青岛 266580; 3 青岛市海洋 地质碳封存重点实验室, 青岛 266237; 4 青岛市海洋地质碳封存工程研究中心, 青岛 266237; 5 海洋地质碳封存山东省工程研究中心, 青岛 266237; 6 中国石化胜利油田分公司勘探开发研究院, 东营 257015)

摘 要:致密储层因渗透率低、孔隙度小、微纳米孔隙广泛发育的特点,水驱开发效果差,采用 CCUS-EOR 技术可以在提高原油采收率的同时实现 CO, 在油藏的地质封存。目前,关于 CO。 封存机理的研究一般以咸水层封存机理为主, 对致密油藏含水条件下 CO。 驱油过程中的 吸附封存机理研究较少。针对以上问题,本文基于分子模拟方法采用羟基化石英晶胞构建致 密油藏孔隙壁面模型,分别建立 CO2、原油短链烷烃及水的流体组分模型,研究了含水条件下 CO2 和原油短链烷烃的竞争吸附特征。结果表明,含水条件下,CO2 和  $CH_4$ 0、CO2 和  $C_3H_6$ 竞 争吸附时的各组分吸附等温线均符合第 I 类吸附等温线, CO2 的绝对吸附量、过剩吸附量和吸 附热均大于 CH<sub>4</sub> 和 C<sub>2</sub>H<sub>6</sub>。CO<sub>2</sub> 和原油短链烷烃在石英壁面的吸附属于物理吸附。模拟条件 下,水分子数目对 CO;的吸附量影响较大,对 CH4的吸附量影响较小。CO;占比增大会使其 吸附量增大,使 $CH_4$ 吸附量减少。温度的增大会减少 $CO_2$ 和 $CH_4$ 的绝对吸附量。孔隙尺寸 的增大会增加 $CO_2$ 和 $CH_4$ 的绝对吸附量和过剩吸附量。壁面矿物类型对 $CO_2$ 和 $CH_4$ 的吸 附量影响较大。

关键词:致密油藏; CO<sub>2</sub> 与短链烷烃; 竞争吸附特征; 分子模拟; 吸附量 中图分类号: TE357.45; P618.13 文献标识码:A **DOI:** 10.16028/j.1009-2722.2024.236

### 0 引言

CCUS(CO<sub>2</sub> 捕集、利用与封存)技术目前被认 为是碳减排的关键措施[1-2],在石油与天然气开采方 面,致密储层因渗透率低、孔隙度小、微纳米孔隙广 泛发育的特点<sup>[3-5]</sup>,水驱开发效果差。CCUS-EOR (CO<sub>2</sub> 捕集、驱油利用与封存)技术可大幅提高致密 油藏原油采收率并实现 CO2 在油藏的有效封存[6-7]。

收稿日期: 2024-10-11

资助项目: 国家自然科学基金"致密油藏多段压裂水平井时空耦合流动 模拟及参数优化方法"(51974343)

第一作者:李静(1991—),男,在读博士,主要从事油气田开发工程方面 的研究工作. E-mail: 408445325@qq.com

\*通讯作者:崔传智(1970—),男,博士,教授,主要从事油气渗流理论、 油气田开发技术方面的研究工作. E-mail: ccz2008@126.com

目前,对 CO2 封存方式的研究一般以深层咸水层封 存机理为主,包括构造封存、残余气封存、溶解封存 和矿化封存[8]。致密油藏孔隙结构复杂,渗透率和 孔隙度极低<sup>[9-10]</sup>, CO<sub>2</sub> 驱油过程中在孔隙壁面的吸 附封存机理不容忽视。

关于CO2吸附特征的研究一般通过物理实验 和微观数值模拟开展,主要集中在吸附等温线变 化规律和吸附等温线拟合方面[11-12]。在物理实验 中,一般采用气体吸附仪对干燥样品进行吸附实 验,实验的温度和压力受仪器性能限制,并且对含 水、含油条件下的样品测试能力有限。目前,有 很多学者基于分子模拟方法对 CO2 在孔隙表面 的吸附行为进行了研究[13]。王海哲[14]以石墨烯 代表页岩纳米孔隙,采用巨正则蒙特卡洛方法 (GCMC)研究了不同温度下 CO<sub>2</sub> 和 CH<sub>4</sub> 在页岩纳

米孔隙中竞争吸附的微观机理。李田田等<sup>[15]</sup> 采用 GCMC 方法研究了 CH<sub>4</sub>和 CO<sub>2</sub> 在页岩主体矿物成分 SiO<sub>2</sub> 孔隙中的吸附性能。方暖等<sup>[16]</sup> 采用 GCMC 方法探究了不同地质埋深条件下 CH<sub>4</sub>和 CO<sub>2</sub> 在方解石-白云石岩层的吸附机理。以上研究表明,分子模拟方法适用于孔隙壁面的竞争吸附模拟,但是对 CO<sub>2</sub> 驱替过程中含水条件下 CO<sub>2</sub> 与原油轻质组分的竞争吸附研究较少,不能反映实际储层含水条件对 CO<sub>2</sub> 及原油轻质组分吸附行为的影响。

针对以上研究问题,本文采用羟基化石英构建 致密油藏孔隙壁面模型,并分别建立 CO<sub>2</sub>、原油短 链烷烃及水的流体组分,研究含水条件下 CO<sub>2</sub> 和原 油短链烷烃的竞争吸附特征,并以 CH<sub>4</sub> 为原油短 链烷烃代表组分,分析了含水条件下水分子数目、 $CO_2$ 与  $CH_4$ 摩尔比、温度、孔隙尺寸和矿物类型等因素对  $CO_2$ 与原油多组分竞争吸附特征的影响。此研究对矿场进一步认识驱油过程中  $CO_2$ 的吸附封存机理具有借鉴指导意义。

### 1 模型构建

#### 1.1 孔隙壁面模型构建

对致密岩芯 A-1 进行 X 射线衍射实验后得到 矿物成分质量百分比,如表 1 所示。由表可知,致密砂岩中石英含量最多,占比为 90.55%,黏土矿物占比次之,为 4.21%。

#### 表 1 致密岩芯矿物成分参数

Table 1 Mineral composition parameters of tight core

实验岩芯	孔隙度/%	渗透率/10 <sup>-3</sup> μm <sup>2</sup>	石英/%	斜长石/%	方解石/%	黏土矿物/%
A-1	9.53	0.29	90.55	2.33	2.91	4.21

基于压汞法得到岩芯的孔喉半径分布图,如图 1 所示。致密岩芯孔喉半径分布范围为 4~1 000 nm。因 CO<sub>2</sub> 在小孔隙中的吸附能力较强,且分子模拟中尺寸孔隙过大会造成计算量大幅增加,综合考虑实际孔隙尺寸及计算量后取 10~20 nm 直径范围进行模拟。

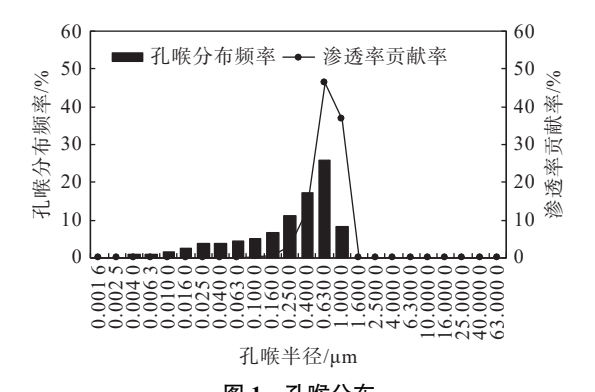


图 1 孔喉分布

Fig.1 The throat distribution

基于以上致密岩芯矿物成分数据,取石英为致密油藏主要壁面成分<sup>[17]</sup>,采用 Materials Studio 2020软件(简称 MS)建立壁面孔隙模型。石英模型取自软件自带数据库。石英的晶胞参数见表 2, 晶胞模型见图 2。

建立壁面孔隙步骤为:①基于石英单晶胞模型 通过 Supercell 命令建立超晶胞模型,参数为 6a× 6b×c; ②通过 Cleave surface 命令,沿上述超晶胞 (001)解理面切面形成 2 层壁面超晶胞结构; ③通过 Build layers 命令按照壁面超晶胞结构、真空层、壁面超晶胞结构的顺序组合,建立石英孔隙模型,壁面间的孔隙宽度取 10 nm; ④对石英壁面两侧表面进行加氢处理,构建羟基化石英壁面,使其润湿性呈现水湿。基于上述步骤建立的石英孔隙结构的参数见表 3<sup>[18]</sup>, 孔隙结构模型如图 3 所示。

表 2 石英晶胞参数

Table 2 The mineral cell parameters

_							
	参数名称	a/Å	b/Å	$c/\mathrm{\AA}$	$\alpha/(^{\circ})$	$\beta/(^{\circ})$	γ/(°)
	参数值	4.913	4.913	5.4052	90	90	120

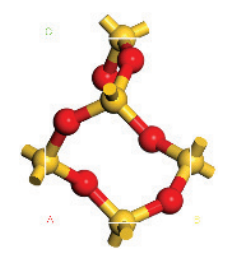


图 2 石英晶胞模型

Fig.2 The quartz crystal cell model

表 3 孔隙结构参数

Table 3 Mineral cell parameters

参数名称	a/Å	b/Å	c/Å	α/(°)	β/(°)	γ/(°)
参数值	29.478	29.478	125.589	90	90	120



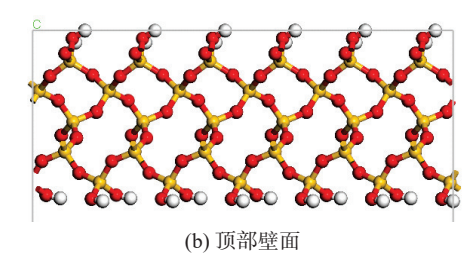


图 3 10 nm 孔隙结构模型

Fig.3 The 10 nm pore structure model

孔隙结构模型建立完成后需要进行结构优化,使模型处于能量最低状态。在 Forcite 模块中选择 Geometry Optimization 任务开展结构优化。算法选用 Smart, 力场选择 COMPASS, 电荷运用 Forcefield assigned 计算, 静电作用采用 Ewald 模拟方法, 范德华作用选择 Atom based 模拟方法。

#### 1.2 流体模型构建

模拟流体组分包括气体组分( $CO_2$ )、水组分( $H_2O$ 、 $Ca^{2+}$ 、Cl)和原油轻质短链烷烃( $CH_4$ 、 $C_2H_6$ )。在 MS 软件 Visualizer 模块中直接构建,之后在Forcite 模块中进行结构优化,得到不同组分平衡结构。 $CO_2$  分子模型见图 4, 水组分模型见图 5, 原油轻质短链烷烃组分模型见图 6。

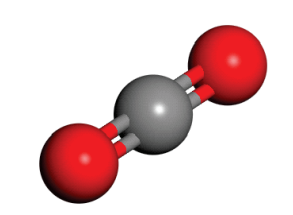


图 4 CO<sub>2</sub> 分子模型 Fig.4 The CO<sub>2</sub> molecular model

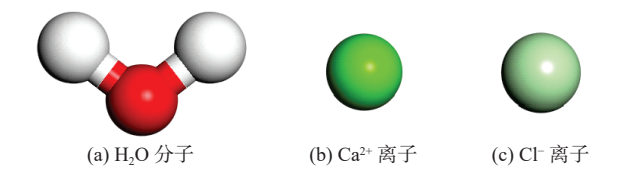


图 5 水组分模型 Fig.5 The water composition model

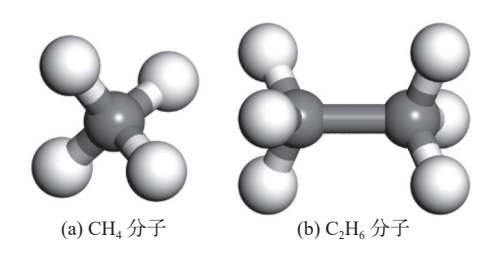


图 6 原油轻质短链烷烃组分模型 Fig.6 The model of light short chain alkane components in crude oil

不同流体组分经过结构优化后的键长及键角 参数见表 4<sup>[19]</sup>。

#### 表 4 流体组分结构参数

Table 4 Fluid component structure parameters

组分	化学键	键长/nm	键角/(°)
$CO_2$	C=O	0.12	180.00
$\rm H_2O$	О-Н	0.10	104.52
$CH_4$	С-Н	0.11	109.47
C <sub>2</sub> H <sub>6</sub>	C-C	0.15	180.00
C <sub>2</sub> H <sub>6</sub>	С-Н	0.11	107.91

# 2 模拟方法及参数设置

#### 2.1 模拟方法

目前,分子模拟方法中的巨正则蒙特卡罗方法(GCMC)被广泛应用于微观吸附领域,在化学势及温度保持恒定的条件下,可以模拟微孔、介孔中吸附质的吸附平衡现象。在吸附模拟中,Sorption模块基于蒙特卡罗(GCMC)方法可以模拟单组分或多组分在微孔及介孔材料中的吸附量。在模拟过程中,Metropolis抽样方法不考虑吸附质在孔道中的扭转与形变,只考虑吸附质的空间位置与去向,并将其视为刚体<sup>[20]</sup>。

#### 2.2 模拟参数设置

采用巨正则系综蒙特卡洛方法(GCMC)开展含水条件下  $CO_2$  和原油轻质短链烷烃组分( $CH_4$  和  $C_2H_6$ )的竞争吸附特征模拟。先选取 Fixed loading 任务吸附  $100 \land H_2O$  分子、 $30 \land Ca^{2+}$ 、 $60 \land Cl$ ,模拟含水条件。然后在 Fixed pressure 任务中进行  $CO_2$  与原油轻质组分( $CH_4$  和  $C_2H_6$ )在摩尔比为 1:1 条件下的竞争吸附模拟。选择 Fixed pressure 任务,抽样方法为 Metropolis,吸附温度为 348.15 K,吸附压力为 1.5、10、15、20 、25、30、35 和 40 MPa,

平衡步数为 1×10<sup>5</sup> 步,生产步数为 1×10<sup>6</sup> 步。力场选择 COMPASS,电荷采用 Forcefield assigned 计算,静电长程作用采用 Ewald 模拟方法,范德华作用选择基于原子的 Atom based 模拟方法,截断半径为 1.25 nm。模拟过程中固定壁面分子,假设壁面为刚性。模拟时需要将各组分的压力基于 Peng-Robinson(PR)方程转换为逸度,输入不同压力对应的逸度值。

# 3 模拟结果及分析

# 3.1 含水条件下 $CO_2$ 和短链烷烃多组分竞争吸附 特征

#### 3.1.1 吸附等温线拟合

经过分子模拟得到的吸附量为绝对吸附量。绝对吸附量指孔隙内处于吸附状态的气体总量。 $CO_2$ 、 $CH_4$  和  $C_2H_6$  在石英壁面的吸附等温线均符合 I 类吸附等温线, 该类等温线一般采用 Langmuir 等温吸附模型进行拟合, 见公式(1):

$$V = \frac{V_{L}p}{p_{L} + p} \tag{1}$$

式中: V 为吸附量, mmol·g<sup>-1</sup>;

 $V_L$ 为压力趋于无穷大时的最大吸附量, mmol· $g^{-1}$ ;

p 为气体平衡压力, MPa;

p<sub>L</sub>为 Langmuir 压力, MPa。

Langmuir 等温吸附模型的应用基于以下假设: ① 吸附剂表面比较均匀, 所有吸附位具有的吸附能相同; ② 吸附剂上吸附的分子不相互作用; ③ 吸附为单分子层吸附。吸附过程中, 当吸附压力超过饱和蒸汽压力时, 吸附会在单层吸附的基础上产生多层吸附, 并存在一定的毛细凝结现象。为了在高压条件下能进一步应用 Langmuir 等温吸附模型, 对方程中的压力 p 进行修正, 引入含结合常数 K<sub>b</sub> 的三参数 Langmuir-Freundlich 模型, 见公式(2):

$$V = V_{L} \frac{(K_{b}p)^{n}}{1 + (K_{b}p)^{n}}$$
 (2)

式中,  $K_b$  为结合常数,  $MPa^{-1}$ ;

n 为模型参数,无量纲。

在含水条件下, 开展 CO<sub>2</sub>-CH<sub>4</sub>、CO<sub>2</sub>-C<sub>2</sub>H<sub>6</sub> 的多组分竞争吸附模拟, 并基于 Langmuir-Freundlich 模型拟合吸附等温线。

在 348.15 K 的含水条件下, CO<sub>2</sub> 和 CH<sub>4</sub> 的多

组分竞争吸附数据及拟合曲线见图 7, 拟合参数见表 5。由吸附等温拟合曲线可知, 含水条件下  $CO_2$ 和  $CH_4$ 竞争吸附时的绝对吸附量随压力增大而增大, 上升幅度逐渐减小, 吸附等温线符合第 I 类吸附等温线。在压力相同的竞争吸附条件下,  $CO_2$ 的绝对吸附量大于  $CH_4$ 的绝对吸附量。在 40 MPa时,  $CO_2$ 和  $CH_4$ 的绝对吸附量分别为 15.05和 9.86 mmol·g<sup>-1</sup>。由表 5 可知, 相同模拟条件下,  $CO_2$ 的最大吸附量大于  $CH_4$ 的最大吸附量。

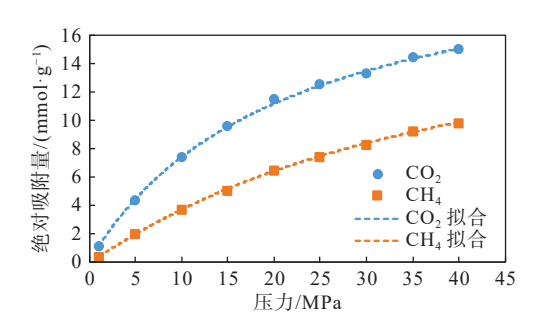


图 7 CO<sub>2</sub>和 CH<sub>4</sub> 吸附等温拟合曲线

Fig.7 The fitting curves of CO<sub>2</sub> and CH<sub>4</sub> adsorption isotherm

#### 表 5 CO<sub>2</sub> 和 CH<sub>4</sub> 吸附等温线拟合参数

Table 5 The fitting parameters of CO<sub>2</sub> and CH<sub>4</sub> adsorption

组分	$V_L/(mmol \cdot g^{-1})$	K <sub>b</sub> /MPa <sup>-1</sup>	n	$R^2$	
$CO_2$	23.4845	0.0455	0.9786	0.999	
$CH_4$	19.1351	0.0266	1.0763	0.999	

在 348.15 K 的含水条件下,  $CO_2$  和  $C_2H_6$  多组分竞争吸附数据及拟合曲线见图 8, 拟合参数见表 6。由吸附等温拟合曲线可知, 含水条件下  $CO_2$  和  $C_2H_6$  竞争吸附等温线符合第 I 类吸附等温线。对比  $CO_2$  与  $CH_4$  的竞争吸附量数据, 在含水条件下与  $CO_2$  竞争吸附时,  $C_2H_6$  的绝对吸附量小于  $CH_4$ 。由表 6 可知, 与  $CO_2$  和  $CH_4$  的竞争吸附相比,  $CO_2$  的最大吸附量大于前者,  $C_2H_6$  的最大吸附量小于前者。 $C_2H_6$  的分子较  $CH_4$  大, 吸附时受空间和

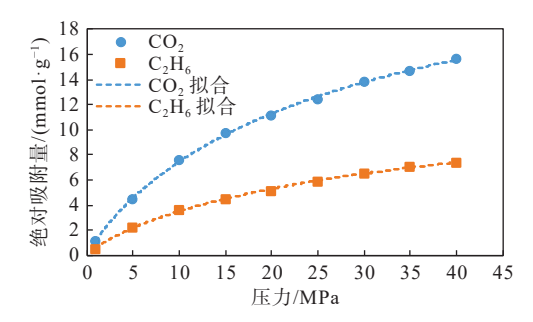


图 8 CO<sub>2</sub> 和 C<sub>2</sub>H<sub>6</sub> 吸附等温拟合曲线

Fig.8 The fitting curves of CO<sub>2</sub> and C<sub>2</sub>H<sub>6</sub> adsorption isotherm

#### 表 6 CO<sub>2</sub> 和 C<sub>2</sub>H<sub>6</sub> 吸附等温线拟合参数

Table 6 The fitting parameters of  $CO_2$  and  $C_2H_6$  adsorption isotherm

组分	$V_L/(mmol \cdot g^{-1})$	K <sub>b</sub> /MPa <sup>-1</sup>	n	$R^2$
$CO_2$	27.7139	0.0330	0.8990	0.999
$C_2H_6$	14.6808	0.0255	0.8449	0.997

吸附位点限制,吸附量较低。

#### 3.1.2 过剩吸附量

过剩吸附量指绝对吸附量与相同空间内自由 气体量的差值,根据 Gibbs-Helmholtz 方程计算,见 公式(3):

$$n_{\rm ex} = n_{\rm ab} \left( 1 - \frac{\rho_{\rm g}}{\rho_{\rm ad}} \right) \tag{3}$$

式中:  $n_{\rm ex}$  为气体过剩吸附量,  ${\rm mmol \cdot g}^{-1}$ ;

 $n_{\rm ab}$  为气体绝对吸附量, mmol·g<sup>-1</sup>;

 $\rho_{\rm g}$  为气体体相密度, g·cm<sup>-3</sup>;

 $\rho_{\rm ad}$  为气体吸附相密度, g·cm<sup>-3</sup>。

根据气体状态方程,各组分体相密度计算见公式(4):

$$\rho_{\rm g} = \frac{Mp}{{\rm R}ZT} \tag{4}$$

式中: M 为组分的摩尔分子量;

R 为气体常数, 8.314 J·(mol·K)<sup>-1</sup>;

Z 为气体压缩系数;

T 为平衡温度, K。

各组分吸附相密度计算见公式(5)[21]:

$$\rho_{\rm ad} = \frac{8MP_{\rm c}}{RT_{\rm c}} \tag{5}$$

式中: $P_c$ 为临界压力,MPa;

 $T_c$  为临界温度,  $K_o$ 

在 348.15 K 的含水条件下, CO<sub>2</sub> 与 CH<sub>4</sub>、CO<sub>2</sub> 与 C<sub>2</sub>H<sub>6</sub> 竞争吸附时的过剩吸附量随压力的变化曲线见图 9。CO<sub>2</sub> 与 CH<sub>4</sub> 的过剩吸附量曲线为实线, CO<sub>2</sub> 与 C<sub>2</sub>H<sub>6</sub> 的为虚线。图例中 CH<sub>4</sub>-CO<sub>2</sub> 表示在 CO<sub>2</sub> 与 CH<sub>4</sub> 吸附模型中 CO<sub>2</sub> 的过剩吸附量, CH<sub>4</sub>-CH<sub>4</sub> 表示在该模型中 CH<sub>4</sub> 的过剩吸附量,以此类推。由图 9 可知,当 CO<sub>2</sub> 与 CH<sub>4</sub> 竞争吸附时,过剩吸附量随压力增大先上升后下降, CO<sub>2</sub> 过剩吸附量峰值在压力为 15 MPa 处, CH<sub>4</sub> 为 20 MPa 处。CO<sub>2</sub> 的过剩吸附量大于 CH<sub>4</sub>,且下降趋势较快,表明在 15 MPa 后, CO<sub>2</sub> 绝对吸附量增长幅度减缓,体相密度变化较大。当 CO<sub>2</sub> 与 C<sub>2</sub>H<sub>6</sub> 竞争吸附时,曲线变化趋势同为先上升后下降,二者过剩吸附量峰值在压力为

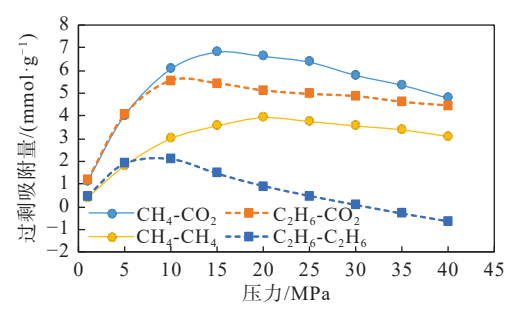


图 9 不同组分竞争吸附时过剩吸附量曲线

Fig.9 Excess adsorption curve during competitive adsorption of different components

10 MPa 处。 $C_2H_6$  的过剩吸附量小于  $CO_2$ , 但是下降趋势较快,表明  $C_2H_6$  在压力为 10 MPa 后,绝对吸附量增长缓慢,体相密度变化较大。

#### 3.1.3 吸附热

在 348.15 K 的含水条件下,  $CO_2$  与  $CH_4$ 、 $CO_2$  与  $C_2H_6$  竞争吸附时的吸附热随压力的变化曲线见图 10。由图 10 可知, 2 种竞争吸附条件下,  $CO_2$  的吸附热均大于原油短链烷烃分子, 各组分在壁面的吸附行为均为物理吸附<sup>[21]</sup>。相同竞争吸附条件下,  $C_2H_6$  的吸附热高于  $CH_4$ ;  $CO_2$  与  $C_2H_6$  竞争吸附时  $CO_2$  的吸附热略高。 $C_2H_6$  分子尺寸较  $CH_4$  大, 色散力较大, 因此与壁面的相互作用能力较强。

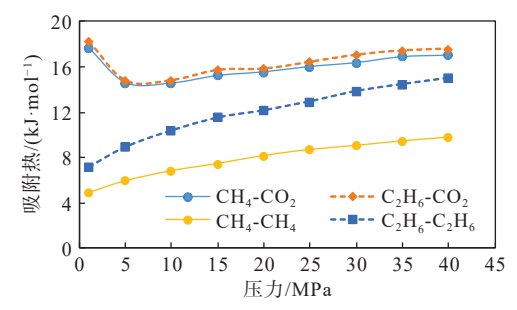


图 10 不同组分竞争吸附时吸附热曲线

Fig.10 Adsorption heat curve during competitive adsorption of different components

# 3.2 含水条件下 $CO_2/CH_4$ 多组分竞争吸附特征影响因素分析

本部分取 CH<sub>4</sub> 代表原油短链烷烃组分,以温度为 348.15 K、孔径尺寸为 10 nm、CO<sub>2</sub> 与 CH<sub>4</sub> 的摩尔比为 1:1 的含钙离子水的吸附模型为基础模型,分析含水条件下水分子数目、摩尔比、温度、孔隙尺寸和矿物类型等因素对多组分竞争吸附特征的影响。基于 Langmuir-Freundlich 模型拟合吸附等温线,影响因素及取值见表 7。

表 7 影响因素及取值

Table 7 Influencing factors and values

水分子数/个	摩尔比	温度/K	孔隙尺寸/nm	矿物类型
80	2:3	348.15	10	石英
100	1:1	363.15	15	方解石
120	3:2	378.15	20	伊利石

#### 3.2.1 水分子数对多组分竞争吸附特征的影响

不同水分子数时 CO2和 CH4的多组分竞争吸 附数据及拟合曲线见图 11, 拟合参数见表 8。由 CO, 吸附等温拟合曲线可知, 相同压力条件下, 随 水分子数增加, CO<sub>2</sub>绝对吸附量先下降后上升。当 含水量较低时,水分子增加会占据吸附位点,减少 CO<sub>2</sub> 吸附量。随着水分子增多,分子间可能形成氢 键结构,改变水分子在孔隙壁面及孔隙中的分布, 使 CO<sub>2</sub> 吸附位点增多。氢键的形成主要源于静电 作用力。当氢原子与电负性很大而半径很小的原 子(如F、O、N)形成共价型氢化物时,由于原子间 共有电子对的强烈偏移, 氢原子几乎呈质子状态。 这个氢原子还可以和另一个电负性大且含有孤对 电子的原子产生静电吸引作用,这种引力称为氢键。 在水分子间, 氢键的形成是由于水分子中的氧原子 (O)具有较高的电负性,能够吸引另一个水分子中 的氢原子(H),形成 O-H···O型的氢键。这种氢键 结构使得水分子之间相互连接,形成网络状结构。 随着水分子的增多,水分子间的氢键网络变得更加 复杂和广泛,这种网络结构的变化可能会改变水分 子在孔隙壁面及孔隙中的分布。在孔隙中水分子 通过氢键重新排列后,可能会暴露出原本被水分子 占据的吸附位点,从而为CO。分子提供更多的吸附 空间<sup>[22]</sup>。由 CH<sub>4</sub> 吸附等温拟合曲线可知,在压力 <25 MPa 时, 水分子数目对 CH₄绝对吸附量影响 不大。随着压力增加,水分子数为 120 时, CH<sub>4</sub> 绝 对吸附量增长幅度降低。竞争吸附时,水分子数目 的增长总体而言对 CH4 的绝对吸附量影响较小。

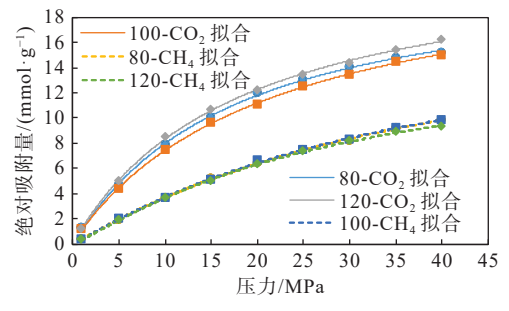


图 11 不同水分子数时 CO<sub>2</sub> 和 CH<sub>4</sub> 吸附等温拟合曲线

Fig.11 The fitting curves of CO<sub>2</sub> and CH<sub>4</sub> adsorption isotherms at different numbers of water molecules

表 8 不同水分子数时 CO<sub>2</sub> 和 CH<sub>4</sub> 吸附等温线拟合参数 Table 8 The fitting parameters of CO<sub>2</sub> and CH<sub>4</sub> adsorption

Table 8 The fitting parameters of CO<sub>2</sub> and CH<sub>4</sub> adsorption isotherms at different numbers of water molecules

吸附组分	水分子数/个	$V_L/(mmol \cdot g^{-1})$	K <sub>b</sub> /MPa <sup>-1</sup>	n	$R^2$
	80	21.6844	0.0593	1.0358	0.998
$CO_2$	100	23.4845	0.0455	0.9786	0.999
	120	23.4954	0.0547	0.9923	0.999
	80	19.7556	0.0249	1.0594	0.999
CH <sub>4</sub>	100	19.1351	0.0266	1.0763	0.999
	120	15.4860	0.0363	1.1636	0.999

不同水分子数时 CO<sub>2</sub> 和 CH<sub>4</sub> 的过剩吸附量曲线见图 12。由 CO<sub>2</sub> 过剩吸附量曲线可知,相同压力条件下,水分子数越大,CO<sub>2</sub> 过剩吸附量呈先减小后增大趋势。由 CH<sub>4</sub> 过剩吸附量曲线可知,二者过剩吸附量曲线峰值均位于压力为 20 MPa 处。不同水分子条件下的过剩吸附量曲线差异较小,说明水分子数对 CH<sub>4</sub> 过剩吸附量影响不大。

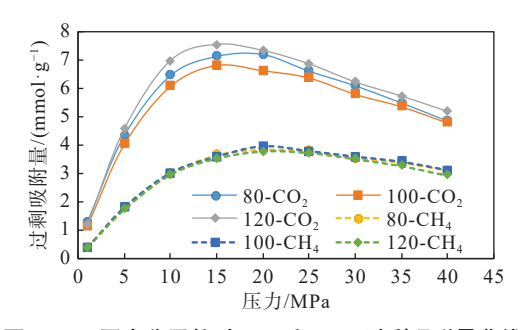


图 12 不同水分子数时 CO<sub>2</sub> 和 CH<sub>4</sub> 过剩吸附量曲线 Fig.12 Excess adsorption curves of CO<sub>2</sub> and CH<sub>4</sub> for different numbers of water molecules

#### 3.2.2 摩尔比对多组分竞争吸附特征的影响

不同摩尔比时 CO<sub>2</sub> 和 CH<sub>4</sub> 的多组分竞争吸附数据及拟合曲线见图 13, 拟合参数见表 9。由 CO<sub>2</sub> 吸附等温拟合曲线可知, 相同压力条件下, 随着摩尔比增大, CO<sub>2</sub> 占比增大, CO<sub>2</sub> 的绝对吸附量增大。含水条件下竞争吸附时孔隙中 CO<sub>2</sub> 含量的增大会促进其在孔隙壁面吸附。由 CH<sub>4</sub> 吸附等温拟合曲线可知, CH<sub>4</sub> 占比越小时, 绝对吸附量曲线随压力增长的幅度越小。相同压力条件下, 随着摩尔比增大, CH<sub>4</sub> 占比减小, CH<sub>4</sub> 的绝对吸附量减小。

不同摩尔比时 CO<sub>2</sub> 和 CH<sub>4</sub> 的过剩吸附量曲线 见图 14。由 CO<sub>2</sub> 过剩吸附量曲线可知,摩尔比越大,相同压力条件下的 CO<sub>2</sub> 过剩吸附量越大。摩尔比为 2:3 时的过剩吸附量峰值在压力为 20 MPa 处,其他比的峰值均在 15 MPa 处。随摩尔比增加, CO<sub>2</sub> 过剩吸附量达到峰值的压力减小。由 CH<sub>4</sub> 过剩吸附量曲线可知,摩尔比越大,相同压力条件下的

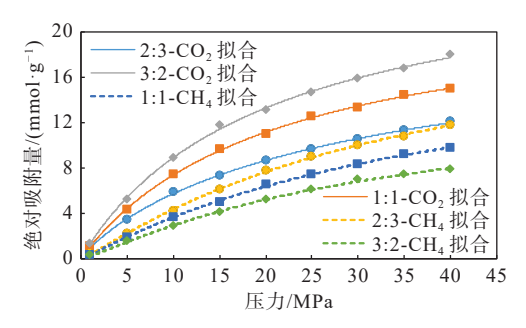


图 13 不同摩尔比时 CO<sub>2</sub> 和 CH<sub>4</sub> 吸附等温拟合曲线

Fig.13 The fitting curves of CO<sub>2</sub> and CH<sub>4</sub> adsorption isotherms at different molar ratios

表 9 不同摩尔比时 CO<sub>2</sub> 和 CH<sub>4</sub> 吸附等温线拟合参数
Table 9 The fitting parameters of CO<sub>2</sub> and CH<sub>4</sub> adsorption isotherms at different molar ratios

吸附组分	摩尔比(CO <sub>2</sub> :CH <sub>4</sub> )	$V_L/(mmol \cdot g^{-1})$	K <sub>b</sub> /MPa <sup>-1</sup>	n	R <sup>2</sup>
$CO_2$	2:3	21.9618	0.0311	0.8821	0.999
	1:1	23.4845	0.0455	0.9786	0.999
	3:2	27.2403	0.0479	0.9696	0.998
	2:3	21.7089	0.0292	1.1130	0.999
$\mathrm{CH_4}$	1:1	19.1351	0.0266	1.0763	0.999
	3:2	14.1192	0.0318	1.1490	0.998

CH<sub>4</sub> 过剩吸附量越小。摩尔比为 2:3 时的过剩吸附量峰值在压力为 25 MPa 处,其他尔比的峰值均在 20 MPa 处。随摩尔比增加, CH<sub>4</sub> 过剩吸附量达到峰值的压力减小。

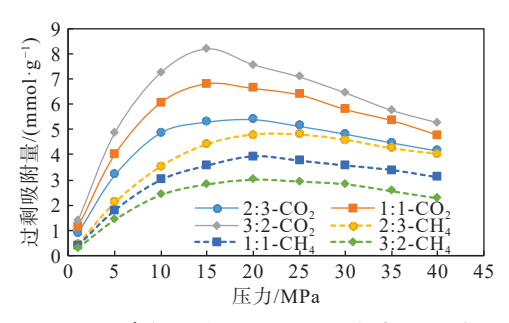


图 14 不同摩尔比时 CO<sub>2</sub> 和 CH<sub>4</sub> 过剩吸附量曲线 Fig.14 Excess adsorption curves of CO<sub>2</sub> and CH<sub>4</sub> for different molar ratios

#### 3.2.3 温度对多组分竞争吸附特征的影响

不同温度时 CO<sub>2</sub> 和 CH<sub>4</sub> 的多组分竞争吸附数据及拟合曲线见图 15, 拟合参数见表 10。由 CO<sub>2</sub> 吸附等温拟合曲线可知, 相同压力条件下, 温度越高绝对吸附量越低。温度升高分子热运动加剧, 会减少与壁面接触的 CO<sub>2</sub> 分子数量, 减少吸附量。由 CH<sub>4</sub> 吸附等温拟合曲线可知, 温度的升高也会使 CH<sub>4</sub> 绝对吸附量降低。

不同温度时  $CO_2$  和  $CH_4$  的过剩吸附量曲线见图 16。由  $CO_2$  过剩吸附量曲线可知,过剩吸附

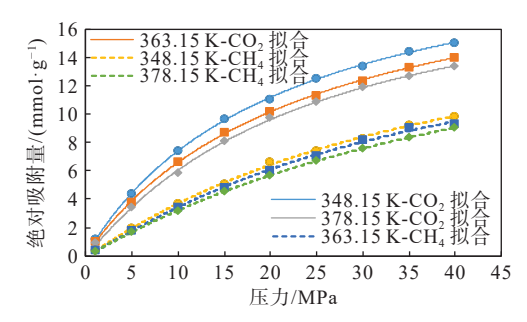


图 15 不同温度时 CO<sub>2</sub> 和 CH<sub>4</sub> 吸附等温拟合曲线

Fig.15 The fitting curves of CO<sub>2</sub> and CH<sub>4</sub> adsorption isotherms at different temperatures

#### 表 10 不同温度时 CO<sub>2</sub> 和 CH<sub>4</sub> 吸附等温线拟合参数

Table 10 The fitting parameters of  $CO_2$  and  $CH_4$  adsorption isotherms at different temperatures

吸附组分	温度/K	$V_L/(mmol \cdot g^{-1})$	K <sub>b</sub> /MPa <sup>-1</sup>	n	R <sup>2</sup>
	348.15	23.4845	0.0455	0.9786	0.999
$CO_2$	363.15	22.8177	0.0401	0.9800	0.999
	378.15	21.1889	0.0420	1.0532	0.999
	348.15	19.1351	0.0266	1.0763	0.999
$CH_4$	363.15	17.8933	0.0279	1.1243	0.998
	378.15	16.2896	0.0292	1.1333	0.998

量随压力增大先上升后下降,在下降阶段出现了交叉点,温度越低,下降幅度越大。温度越高,体相密度变化幅度越小,下降阶段相对比较缓慢。在温度为348.15 K时,过剩吸附量峰值在15 MPa处,363.15 和378.15 K均在20 MPa处。温度升高使过剩吸附量达到最大值的压力增大。由CH<sub>4</sub>过剩吸附量曲线可知,CH<sub>4</sub>过剩吸附量随压力增大呈现为先上升后下降趋势,在下降阶段也出现交叉点。在20 MPa后,温度为348.15 K的曲线下降幅度最大;在35 MPa后,温度为363.15 K的曲线下降幅度超过378.15 K。

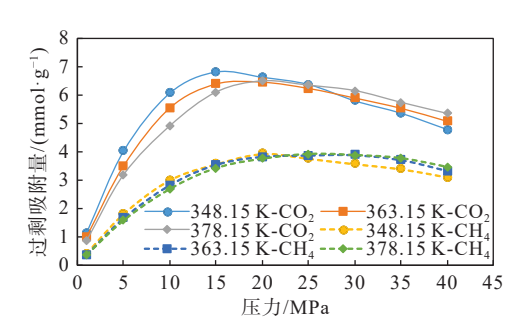


图 16 不同温度时 CO<sub>2</sub> 和 CH<sub>4</sub> 过剩吸附量曲线 Fig.16 Excess adsorption curves of CO<sub>2</sub> and CH<sub>4</sub> for different temperatures

### 3.2.4 孔隙尺寸对多组分竞争吸附特征的影响

不同孔隙尺寸时 CO<sub>2</sub> 和 CH<sub>4</sub> 的多组分竞争 吸附数据及拟合曲线见图 17, 拟合参数见表 11。

由 CO<sub>2</sub> 吸附等温拟合曲线可知, 压力为 1 MPa 时, 不同孔隙尺寸的绝对吸附量相差不大; 当压力 > 1 MPa 后, 相同压力时, 孔隙尺寸越大, CO<sub>2</sub> 绝对吸附量越大。孔隙空间的增大允许更多 CO<sub>2</sub> 分子与孔隙壁面相互作用, 形成吸附层。由 CH<sub>4</sub> 吸附等温拟合曲线可知, CH<sub>4</sub> 绝对吸附量均随压力增大而增大, 孔隙尺寸越大, 随压力增加的幅度越大。在相同模拟条件下 CH<sub>4</sub> 绝对吸附量小于 CO<sub>2</sub> 绝对吸附量。

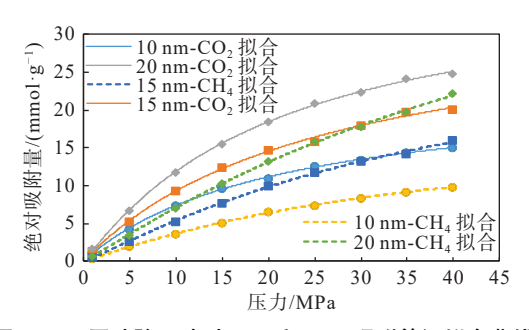


图 17 不同孔隙尺寸时 CO<sub>2</sub> 和 CH<sub>4</sub> 吸附等温拟合曲线 Fig.17 The fitting curves of CO<sub>2</sub> and CH<sub>4</sub> adsorption isotherms at different pore sizes

表 11 不同孔隙尺寸时 CO<sub>2</sub> 和 CH<sub>4</sub> 吸附等温线拟合参数 Table 11 The fitting parameters of CO<sub>2</sub> and CH<sub>4</sub> adsorption isotherms at different pore sizes

isomernis at afferent pere sizes						
吸附组分	孔隙尺寸/nm	$V_L/(mmol \cdot g^{-1})$	K <sub>b</sub> /MPa <sup>-1</sup>	n	$R^2$	
	10	23.4845	0.0455	0.9786	0.999	
$CO_2$	15	34.2287	0.0370	0.9860	0.997	
	20	37.9542	0.0476	1.0498	0.999	
	10	19.1351	0.0266	1.0763	0.999	
$\mathrm{CH_4}$	15	32.3492	0.0240	1.1235	0.999	
	20	55.9876	0.0166	1.0718	0.999	

不同孔隙尺寸时 CO<sub>2</sub> 和 CH<sub>4</sub> 的过剩吸附量曲线见图 18。由 CO<sub>2</sub> 过剩吸附量曲线可知,相同压力条件下,孔隙尺寸越大,过剩吸附量越大。当孔隙尺寸为 10 nm 时,过剩吸附量峰值压力为 15 MPa;当孔隙尺寸为 15 和 20 nm 时,过剩吸附量峰值压力均为 20 MPa。孔隙尺寸增大会使过剩吸附量达到峰值的压力增大。由 CH<sub>4</sub> 过剩吸附量曲线可知,当孔隙尺寸为 10 和 15 nm 时, CH<sub>4</sub> 过剩吸附量峰值压力均为 20 MPa。当孔隙尺寸为 20 nm 时,过剩吸附量峰值压力均为 20 MPa。当孔隙尺寸为 20 nm 时,过剩吸附量峰值压力均为 25 MPa。孔隙尺寸的增大同样会使 CH<sub>4</sub> 过剩吸附量峰值压力增大。

## 3.2.5 矿物类型对多组分竞争吸附特征的影响

建立方解石与伊利石孔隙壁面模型后,开展矿物类型对多组分竞争吸附特征的影响研究。不同矿物类型时 CO<sub>2</sub> 和 CH<sub>4</sub> 的多组分竞争吸附数据及

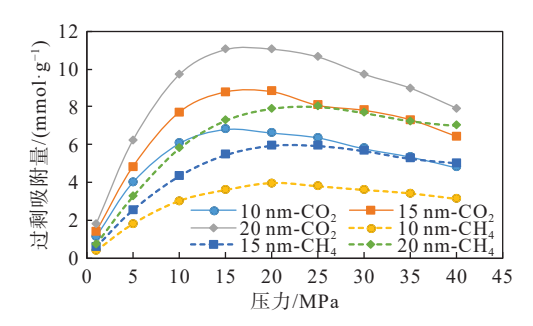


图 18 不同孔隙尺寸时 CO<sub>2</sub> 和 CH<sub>4</sub> 过剩吸附量曲线 Fig.18 Excess adsorption curves of CO<sub>2</sub> and CH<sub>4</sub> for different pore sizes

拟合曲线见图 19, 拟合参数见表 12。由  $CO_2$  吸附等温拟合曲线可知, 模拟压力范围内伊利石壁面的  $CO_2$  绝对吸附量相比石英和方解石壁面大, 在 5 MPa 以后达到平衡。方解石壁面的  $CO_2$  绝对吸附量上升幅度较石英壁面大。由  $CH_4$  吸附等温拟合曲线可知, 伊利石壁面对  $CH_4$  的绝对吸附量最少, 在 40 MPa 时仅为 1.2  $mmol\cdot g^{-1}$ 。黏土矿物亲水, 对短链烷烃的吸附能力较弱。相同压力下, 方解石壁面对  $CH_4$  的绝对吸附量大于石英壁面。

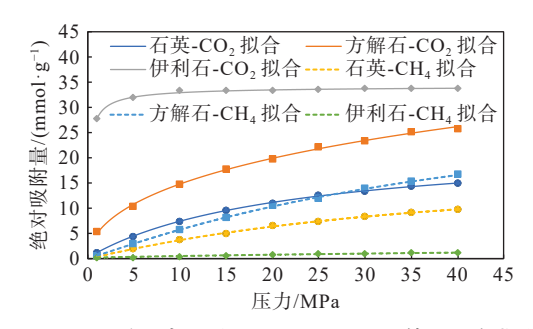


图 19 不同矿物类型时 CO<sub>2</sub> 和 CH<sub>4</sub> 吸附等温拟合曲线 Fig.19 The fitting curves of CO<sub>2</sub> and CH<sub>4</sub> adsorption isotherms at different mineral types

表 12 不同矿物类型时 CO<sub>2</sub> 和 CH<sub>4</sub> 吸附等温线拟合参数 Table 12 The fitting parameters of CO<sub>2</sub> and CH<sub>4</sub> adsorption isotherms at different mineral types

吸附组分	矿物类型	$V_L/(mmol \cdot g^{-1})$	K <sub>b</sub> /MPa <sup>-1</sup>	n	$R^2$
	石英	23.4845	0.0455	0.9786	0.999
$CO_2$	方解石	96.9417	0.0036	0.5156	0.997
	伊利石	34.3944	6.9748	0.7483	0.992
	石英	19.1351	0.0266	1.0763	0.999
$\mathrm{CH_4}$	方解石	36.1303	0.0217	1.0873	0.999
	伊利石	12.7389	0.0014	0.7789	0.991

不同矿物类型时  $CO_2$  和  $CH_4$  的过剩吸附量曲 线见图 20。由  $CO_2$  过剩吸附量曲线可知,相同压力条件下,伊利石壁面对  $CO_2$  的过剩吸附量最大,方解石壁面次之,石英壁面最小。伊利石壁面的

CO<sub>2</sub> 过剩吸附量在 5 MPa 压力达到峰值。方解石与石英壁面的过剩吸附量峰值压力均为 15 MPa。由 CH<sub>4</sub> 过剩吸附量曲线可知,方解石和石英壁面的绝对吸附量下降趋势较明显,峰值压力均为 20 MPa。伊利石壁面的过剩吸附量因数值较小,变化不明显。

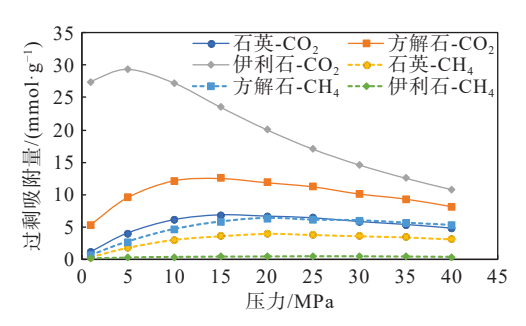


图 20 不同矿物类型时 CO<sub>2</sub> 和 CH<sub>4</sub> 过剩吸附量曲线 Fig.20 Excess adsorption curves of CO<sub>2</sub> and CH<sub>4</sub> for different mineral types

# 4 结论

- (1)含水条件下,  $CO_2$  和  $CH_4$ 、 $CO_2$  和  $C_2H_6$  竞 争吸附时的各组分吸附等温线符合第 I 类吸附等温线。在模拟压力范围内,  $CO_2$  的绝对吸附量大于  $CH_4$  和  $C_2H_6$  的绝对吸附量。  $C_2H_6$  的绝对吸附量小于  $CH_4$ ,拟合得到的最大吸附量相差 4.454 3 mmol·g<sup>-1</sup>。
- (2)含水条件下多组分竞争吸附时,  $CO_2$  的过剩吸附量均大于  $CH_4$  和  $C_2H_6$  的过剩吸附量。  $C_2H_6$  的过剩吸附量在相同模拟压力下均小于  $CH_4$ 。  $CO_2$  的吸附热均大于原油短链烷烃分子, 各组分在壁面的吸附行为均为物理吸附。
- (3)相同压力条件下,随水分子数增加,CO<sub>2</sub>绝对吸附量和过剩吸附量均先下降后上升,对 CH<sub>4</sub>影响较小;随着摩尔比增大,CO<sub>2</sub>占比增大,CO<sub>2</sub>的绝对吸附量和过剩吸附量增大,CH<sub>4</sub>则相反;温度的增大会减少 CO<sub>2</sub>和 CH<sub>4</sub>的绝对吸附量,二者过剩吸附量在温度较低时的下降幅度较大;孔隙尺寸的增大会增加 CO<sub>2</sub>和 CH<sub>4</sub>的绝对吸附量和过剩吸附量。在模拟压力下,伊利石壁面的 CO<sub>2</sub>绝对吸附量较大,CH<sub>4</sub>的绝对吸附较小。

#### 参考文献:

- [1] QIN J Z, ZHONG Q H, TANG Y, et al. CO<sub>2</sub> storage potential assessment of offshore saline aquifers in China[J]. Fuel, 2023, 341; 127681.
- [2] LIU Y L, RUI Z H. A storage-driven CO<sub>2</sub> EOR for a net-zero

- emission target[J]. Engineering, 2022, 18: 79-87.
- [3] 黄苏卫,刘峰, 戚家振. 西湖凹陷 Y 构造花港组致密砂岩成藏特征 [J]. 海洋地质前沿, 2023, 39(3): 71-80.

  HUANG S W, LIU F, QI J Z. Tight sandstone accumulation characteristics of Huagang Formation in Y Structure of Xihu Sag[J]. Marine Geology Frontiers, 2023, 39(3): 71-80.
- [4] 肖晓光, 秦兰芝, 张武, 等. 西湖凹陷西斜坡平湖组储层特征 及致密化过程分析 [J]. 海洋地质前沿, 2023, 39(4): 34-45. XIAO X G, QIN L Z, ZHANG W, et al. Reservoir characteristics and densification process of Pinghu Formation in western slope of Xihu Sag[J]. Marine Geology Frontiers, 2023, 39(4): 34-
- [5] 张岩,秦德文. 东海古近系致密碎屑岩 "甜点" 地震预测方法 及应用 [J]. 海洋地质前沿, 2023, 39(5): 93-100. ZHANG Y, QIN D W. Method and application of sweet spot seismic prediction of the Paleogene low-porosity low-permeability clastic rock in the East China Sea Basin[J]. Marine Geology Frontiers, 2023, 39(5): 93-100.
- [6] 杨勇. 中国碳捕集、驱油与封存技术进展及发展方向 [J]. 石油学报, 2024, 45(1): 325-338.

  YANG Y. Technology progress and development direction of carbon capture, oil-flooding and storage in China[J]. Acta Petrolei Sinica, 2024, 45(1): 325-338.
- [7] 王峰, 黎政权, 张德平. 吉林油田 CCUS-EOR 技术攻关与实践新进展 [J]. 天然气工业, 2024, 44(4): 76-82.

  WANG F, LI Z Q, ZHANG D P. New research and practice progresses of CCUS-EOR technology in Jilin Oilfield[J]. Natural Gas Industry, 2024, 44(4): 76-82.
- [8] 刘斌, 孙久强, 崔洋洋, 等. 深部咸水层中 CO<sub>2</sub> 埋存机理及埋存能力计算 [J]. 新型工业化, 2015, 5(3): 47-53.

  LIU B, SUN J Q, CUI Y Y, et al. CO<sub>2</sub> sequestration mechanism and capacity calculation in deep saline aquifer[J]. The Journal of New Industrialization, 2015, 5(3): 47-53.
- [9] 苏大鹏, 贺静, 闫琢玉, 等. 西沙石岛西科 1 井深层致密白云岩岩相学特征再研究 [J]. 海洋地质前沿, 2021, 37(6): 55-63. SU D P, HE J, YAN Z Y, et al. Restudy on petrographic characteristics of deep tight dolomite in Well Xike 1 of Shidao, Xisha Islands[J]. Marine Geology Frontiers, 2021, 37(6): 55-63.
- [10] 董刚, 刘新宇, 李绪深, 等. 南海西科 1 井致密白云岩特征及成岩环境 [J]. 海洋地质前沿, 2021, 37(6): 49-54.

  DONG G, LIU X Y, LI X S, et al. Characteristics and diagenetic environment of tight dolostone in Well Xike 1, South China Sea[J]. Marine Geology Frontiers, 2021, 37(6): 49-54.
- [11] 唐明云, 张海路, 段三壮, 等. 基于 Langmuir 模型温度对煤吸 附解吸甲烷影响研究 [J]. 煤炭科学技术, 2021, 49(5): 182-189.
  - TANG M Y, ZHANG H L, DUAN S Z, et al. Study on effect of temperature on methane adsorption and desorption in coal based on Langmuir model[J]. Coal Science and Technology, 2021, 49(5): 182-189.
- [12] 李晶辉, 韩鑫, 黄思婧, 等. 页岩干酪根吸附规律的分子模拟研究 [J]. 油气藏评价与开发, 2022, 12(3): 455-461.

- LI J H, HAN X, HUANG S J, et al. Molecular simulation of adsorption law for shale kerogen[J]. Petroleum Reservoir Evaluation and Development, 2022, 12(3): 455-461.
- [13] 邓小鹏, 相建华. 东曲矿 8 号煤 CO<sub>2</sub> 和 CH<sub>4</sub> 竞争吸附特性分子模拟研究 [J]. 煤矿安全, 2024, 55(3): 18-24.

  DENG X P, XIANG J H. Molecular simulation study on competitive adsorption characteristics of CO<sub>2</sub> and CH<sub>4</sub> for 8<sup>st</sup> coal in Dongqu Mine[J]. Safety in Coal Mines, 2024, 55(3): 18-24.
- [14] 王海哲. 页岩纳米孔隙中 CO<sub>2</sub> 和 CH<sub>4</sub> 吸附扩散分子模拟研究 [J]. 能源与环保, 2024, 46(7): 156-160.
  WANG H Z. Molecular simulation study on adsorption and diffusion molecular of CO<sub>2</sub> and CH<sub>4</sub> in shale nanopores[J]. China Energy and Environmental Protection, 2024, 46(7): 156-160.
- [15] 李田田, 王淑彦, 邵宝力, 等. CH<sub>4</sub>/CO<sub>2</sub> 在 SiO<sub>2</sub> 孔隙中的吸附和扩散性能研究 [J]. 当代化工, 2024, 53(5): 1035-1039. LI T T, WANG S Y, SHAO B L, et al. Adsorption and diffusion properties of CH<sub>4</sub>/CO<sub>2</sub> in SiO<sub>2</sub> pores[J]. Contemporary Chemical Industry, 2024, 53(5): 1035-1039.
- [16] 方暖, 陈泽琴, 刘晓强, 等. 分子模拟 CH<sub>4</sub> 和 CO<sub>2</sub> 在方解石-白 云石岩层的吸附机理 [J]. 长江大学学报 (自然科学版), 2024, 21(3): 95-104.

  FANG N, CHEN Z Q, LIU X Q, et al. Molecular simulation of the adsorption mechanisms of CH<sub>4</sub> and CO<sub>2</sub> in calcite-dolomite nanopore[J]. Journal of Yangtze University (Natural Science Edition), 2024, 21(3): 95-104.
- [17] 任旭, 王杰, 董海海, 等. 考虑组分差异的致密油二氧化碳吞吐效果分子模拟 [J]. 断块油气田, 2022, 29(2): 229-233.

  REN X, WANG J, DONG H H, et al. Molecular simulation of CO<sub>2</sub> huff and puff effects in tight oil considering component dif-

- ferences[J]. Fault-Block Oil & Gas Field, 2022, 29(2): 229-233.
- [18] 汪周华, 赵建飞, 白银, 等. 不同润湿性修饰石英吸附甲烷的模拟研究 [J]. 西南石油大学学报 (自然科学版), 2019, 41(6): 28-34.
  - WANG Z H, ZHAO J F, BAI Y, et al. Simulation of methane adsorption of quartz with different wettability[J]. Journal of Southwest Petroleum University (Science & Technology Edition), 2019, 41(6): 28-34.
- [19] 张明航. 伊利石及方解石中 CO<sub>2</sub>-烷烃吸附扩散的分子模拟研究 [D]. 成都: 西南石油大学, 2017.

  ZHANG M H. The molecular simulation study on adsorption and diffusion in the process of alkanes displacement with carbon dioxide injection on illite and calcite[D]. Chengdu: Southw-
- [20] 刘洁翔, 董梅, 秦张峰, 等.  $C_5$  烷烃分子在  $AlPO_4$ -5 分子筛中 吸附的分子模拟研究 [J]. 燃料化学学报, 2004, 32(5): 569-572.

est Petroleum University, 2017.

- LIU J X, DONG M, QIN Z F, et al. Molecular simulation of  $C_5$  paraffins sorption in AlPO<sub>4</sub>-5 molecular sieves[J]. Journal of Fuel Chemistry and Technology, 2004, 32(5): 569-572.
- [21] 吴双, 汤达祯, 李松, 等. 温度/压力对甲烷超临界吸附能量参数的影响机制 [J]. 煤炭科学技术, 2019, 47(9): 60-67. WU S, TANG D Z, LI S, et al. Effect of temperature and pressure on energy parameters of methane supercritical adsorption[J]. Coal Science and Technology, 2019, 47(9): 60-67.
- [22] LIU S, WANG M H, WEI S X, et al. Enhanced CO<sub>2</sub> capture in partially interpenetrated MOFs: synergistic effects from functional group, pore size, and steric-hindrance[J]. Journal of Colloid and Interface Science, 2023, 650: 1361-1370.

# Molecular simulation of competitive adsorption of CO<sub>2</sub> and short-chain alkanes under water containing conditions in tight oil reservoirs

LI Jing<sup>1,2</sup>, CUI Chuanzhi<sup>1,2,3,4,5\*</sup>, YU Yongbo<sup>1,2</sup>, LI Zongyang<sup>6</sup>, ZHANG Chuanbao<sup>6</sup>, ZHANG Dong<sup>6</sup>
(1 College of Petroleum Engineering, China University of Petroleum (East China), Qingdao 266580, China; 2 National Key Laboratory of Deep Oil and Gas, China University of Petroleum (East China), Qingdao 266580, China; 3 Qingdao Key Laboratory of Offshore CO<sub>2</sub> Geological Storage, Qingdao 266237, China; 4 Qingdao Engineering Research Center of Offshore CO<sub>2</sub> Geological Storage, Qingdao 266237, China; 5 Shandong Engineering Research Center of Offshore CO<sub>2</sub> Geological Storage, Qingdao 266237, China; 6 Exploration and Development Research Institute, Shengli Oilfield Company, SINOPEC, Dongying 257015, China)

**Abstract:** Tight reservoirs have low permeability, small porosity, and pervasive micro-nano pores, so water flooding has poor development effects. The use of CCUS-EOR (Carbon Capture, Utilization, and Storage-Enhanced Oil Recovery) technology can realize the geological sequestration of CO<sub>2</sub> in the reservoir while improving the crude oil recovery efficiency. Currently, research on CO<sub>2</sub> sequestration mechanisms focuses mainly on saline aquifer sequestration, with less emphasis on adsorption and sequestration during CO<sub>2</sub> flooding in tight oil reservoirs under water containing conditions. To address the above problems, we established a pore wall model for tight reservoirs using hydroxylated quartz cells based on molecular simulation methods, in which the fluid component models of CO<sub>2</sub>, crude oil short-chain alkanes, and water were contained; and investigated the competitive adsorption characteristics of CO<sub>2</sub> and crude oil short-chain alkanes under water containing conditions. Results show that under water containing conditions, the adsorption isotherms of each component during the competitive adsorption of CO<sub>2</sub> and CH<sub>4</sub>, CO<sub>2</sub> and C<sub>2</sub>H<sub>6</sub> were in accordance with the class I adsorption isotherm, and the absolute adsorption amount, excess adsorption amount, and heat adsorption of CO<sub>2</sub> were larger than those of CH<sub>4</sub> and C<sub>2</sub>H<sub>6</sub>. The adsorption of CO<sub>2</sub> and crude oil short-chain alkanes on the quartz wall was physical. Under simulation conditions, the number of water molecules had a significant impact on the adsorption amount of CO2 and a relatively small impact on the adsorption amount of CH<sub>4</sub>. The increase in the proportion of CO<sub>2</sub> increased CO<sub>2</sub> adsorption amount but decreased CH4 adsorption amount. The increase of temperature reduced the absolute adsorption amount of CO<sub>2</sub> and CH<sub>4</sub>. The increase of pore size increased the absolute and excess adsorption amounts of both CO<sub>2</sub> and CH<sub>4</sub>. The type of wall mineral showed a significant impact on the adsorption capacity of CO<sub>2</sub> and CH<sub>4</sub>. Key words: tight oil reservoir; CO2 and short chain alkanes; competitive adsorption characteristics; molecular simulation; adsorption amount